

I-223 ケーブル橋の防振に関する一考察

東北工業大学 正員 高橋龍夫
 " " 松山正次
 " " 山田将次

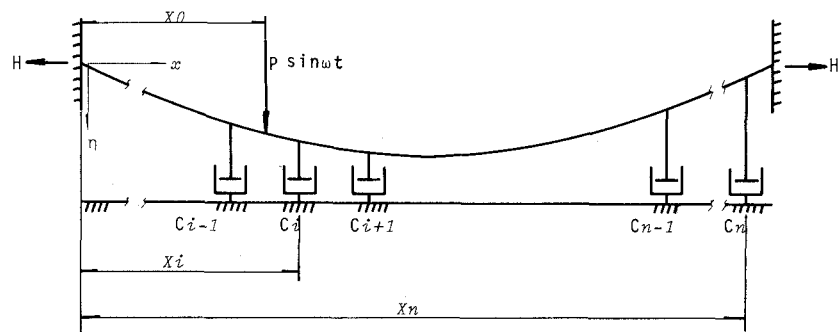
1. まえがき

本文は、前もって引張力を加える事により、サブを小さくしてケーブル上に、軽量の床組又は補剛筋を載せる構造形式の橋梁（ここでは、ケーブル橋と呼ぶ）の可能性を、動力学的解析の面で検討するための基礎的研究の一端である。ケーブルのように、フレキシブルな構造物に、粘性抵抗力が集中的に作用した場合の振動性状を把握するために、基本的な梁に粘性抵抗力が付いて場合の解析が必要となる。梁のように、ある程度の大きさこの曲げ剛性（EI）を有する場合には、粘性抵抗力がかなりの大きさになるまで、振動数、振動モードには、著しい変化は見られない。（厳密には、振動数は変化し、位相おくれが生じているのである。）この範囲では振動が粘性抵抗力に、直線的に比例して減衰していく事については、すでに述べている⁽¹⁾ 又、速度比例型のオイルダンパーが、ひとつの防振方法として有効である事を述べている⁽²⁾⁽³⁾⁽⁴⁾⁽⁵⁾。

さて、梁に比較して、ケーブルの場合においては、粘性抵抗力が振動性状の変化に与える影響は、さわめて大きく、振動数、振動モードの変化は顕著で、位相おくれもより明確に表われてくる。今回は、サブの比較的小さい、水平方向に等分布荷重が載荷されたケーブルに、粘性抵抗力が集中的に作用する場合の、ケーブルの振動性状の解析と実験を行った。

2. 運動方程式

ケーブルの運動方程式を導くにあたつて、次の仮定を設ける。
 1) ケーブルの形状は弦物線とする。
 2) 水平方向に等分布質量があり、ケーブルの自重は無視する。
 3) 振動振幅は微小であるとし、振動たわみによる水平反力の増分を無視できるものとする。



(図-1)

ディラックのデルタ関数を用いて、運動方程式を表わすと、図-1の諸元より、次式で示される。ここで外力としては、解を簡易化するため、正弦波状外力 $P \sin \omega t$ を任意の場所に与えるものとする。

$$m \frac{\partial^2 u}{\partial x^2} - H \frac{\partial^2 u}{\partial x^2} + \sum_{i=1}^n C_i \frac{\partial^2 u}{\partial x^2} \delta(x - x_i) = P \sin \omega t \delta(x - x_0)$$

上式を、ラプラス変換法にて解析する。ただし、

$$\mathcal{L}_x [u(t, x)] = Y_x(s, x)$$

$$\mathcal{L}_x [Y_x(s, x)] = Y_{xx}(s, x)$$

$$\mathcal{L}_x [\frac{\partial u}{\partial x}]_{x=0} = \phi_1$$

$$\alpha^2 = \frac{H}{m} : \quad p = \frac{P}{m} : \quad \beta^2 = \frac{\omega^2}{\alpha^2} : \quad K = \frac{\gamma_0 \omega}{\beta^2 + \omega^2} :$$

$$Y_{tx} = \frac{1}{\beta^2 - \rho^2} \left| \phi_1 + \frac{\delta}{a^2} \sum_{i=1}^n k_i Y_{tx_i} e^{-\beta x_i} - \frac{K}{a^2} e^{-\beta x_0} \right|$$

$x(t)$ について、シナリオス逐次換算する。

$$Y_t = \frac{\phi_1}{\rho} \sinh \rho x + \frac{\delta}{a^2 \rho} \sum_{i=1}^n k_i Y_{tx_i} \sinh \rho (x - x_i) - \frac{K}{a^2 \rho} \sinh \rho (x - x_0)$$

$$Y_{tx_j} = \frac{\phi_1}{\rho} \sinh \rho x_j + \frac{\delta}{a^2 \rho} \sum_{i=1}^j k_i Y_{tx_{i-1}} \sinh \rho (x_j - x_i) - \frac{K}{a^2 \rho} \sinh \rho (x_j - x_0)$$

但し、 $x_j > x_0$: $\sinh \rho (x_j - x_0) = 0$

ここで、境界条件として、 $x=0$; $\eta(t, 0) = 0$ が求められる。

$\phi_1 = \frac{f_2(s)}{f_2(s)}$ とすれば、 $f_2(s)=0$ を満足させる。複素変数、 $S_j = \frac{a}{\ell} (R_j \pm i I_j)$ と、固有振動数: $\omega_j = \frac{a}{\ell} I_j$,

対数減衰率: $\delta_j = \frac{R_j}{I_j} \cdot 2\pi$ から求められる。又、振動形は、次式より求められる。

$$\eta(t, x) = \left[\sum_{j=1}^m \left(Y_t \cdot e^{i \omega_j t} \right) \right] s = \frac{a}{\ell} (R_j \pm i I_j)$$

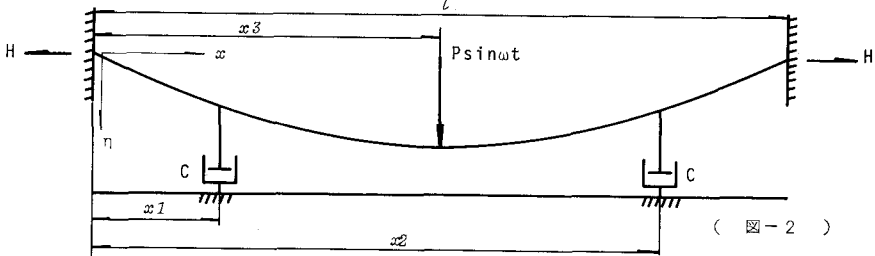
$l=1.0 \times 10^3$ (cm)	$w=0.1$ (kg/cm)	$EA=6.2023 \times 10^7$ (g)
SAG=10:20:30 (cm)		$C=10,500,10$ (g.sec/cm)
$x_1=1.0 \times 10^2$ (cm)	$x_2=5.0 \times 10^2$ (cm)	$x_3=9.0 \times 10^2$ (cm)
$=2.0$	$=$	$=8.0$
$=3.0$	$=$	$=7.0$

(実験模型の諸元)

3. 計算例及び実験模型諸元

図-2に示される

様に、2個の集中荷重が対称に設置した場合についての計算例を示す。又、実験に供した模型諸元は、右に示す通りである。

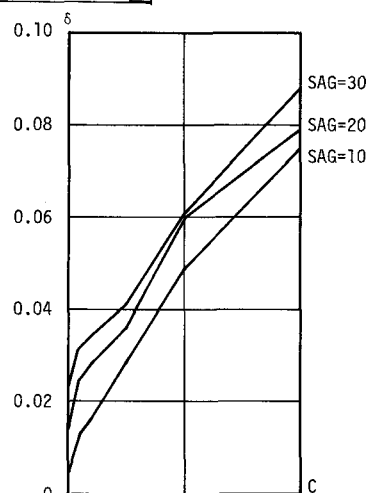


(図-2)

$$m \frac{d^2 \eta}{dx^2} - H \frac{d^2 \eta}{dx^2} + C \frac{d^2 \eta}{dx^2} \{ \delta(x - x_1) + \delta(x - x_3) \} = P \sin \omega t \delta(x - x_2)$$

$$x_1 < x_2 < x_3 < l: R = \frac{m \omega}{S_2 + \omega^2}; \rho^2 = \frac{\delta^2}{a^2}; n = \frac{C}{m}; a^2 = \frac{H}{m}; p = \frac{\rho}{m}$$

$$\therefore Y_t = \frac{R}{a^2 \rho} \cdot \frac{\sinh \rho (x - x_2) + i \alpha \{ \sinh \rho x_1 \cdot \sinh \rho (l - x_3) \}}{\sinh \rho x_1 \sinh \rho (l - x_3) + i \alpha \{ \sinh \rho x_1 \sinh \rho (l - x_3) + \sinh \rho (x_2 - x_3) \} - \alpha^2 \{ \sinh \rho x_1 \cdot \sinh \rho (l - x_3) \} \cdot \{ \sinh \rho x_2 + i \alpha \{ \sinh \rho x_1 \sinh \rho (x - x_2) \} + i \alpha \sinh \rho x_3 \cdot \sinh \rho x_2 \sinh \rho (x - x_2) \} - i \alpha \{ \sinh \rho x_1 \sinh \rho (x - x_2) \} \cdot \sinh \rho x_3 - \frac{R}{a^2 \rho} \cdot \{ \sinh \rho (x - x_2) + i \alpha \{ \sinh \rho (x - x_2) \cdot \sinh \rho (x - x_3) \} \}}$$



(図-3)

総面の割合により、これ等の振動性状の変化を、ケーブルの水平反力(H)及び等分布質量(m)と粘性係数(C)からなるパラメータ、 $\alpha = \frac{C}{\sqrt{mH}}$ を用いて求め、計算結果と実験結果については、当日発表する予定である。

図-3は、実験結果の一部を示すものである。

参考文献: (1)ダンバー(モーフィー)のための振動: 飯西茂、高橋龍太(林業技術集第117号); (2)粘性減衰を有する構造の振動について: 飯西茂、松山(林業講習第26回講義); (3)粘性減衰を有する構造の強制振動: 飯西茂、松山(林業講習第27回講義); (4)走行荷重によるダンパーを有する車輪荷重の振動特性について: 飯西茂、越後(林業講習第28回講義); (5)ケーブル橋の防振についての基礎的考察: 高橋、松山、山田(林業技术部林業研究会研究会報告集、1970.2.22)